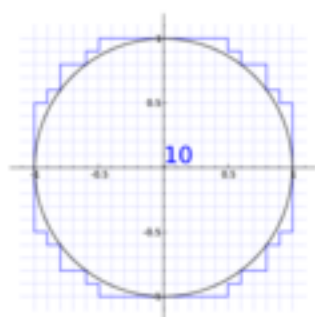


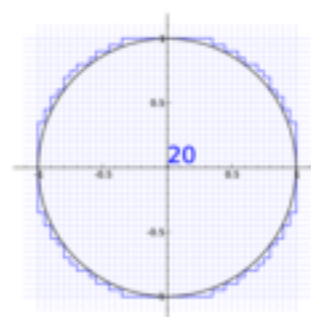
ccircle1.eps
349x349
12159B



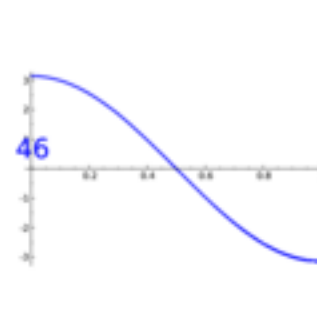
ccircle2.eps
349x349
13664B



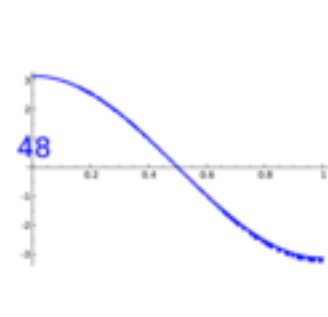
ccircle3.eps
349x349
16410B



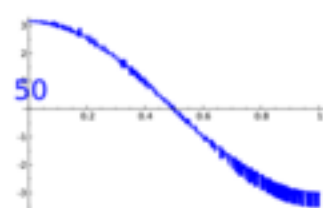
ccircle4.eps
349x349
16165B



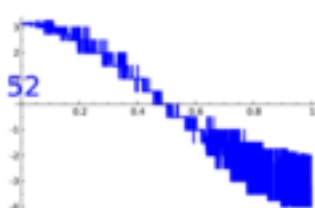
dsin1.eps
355x227
6198B



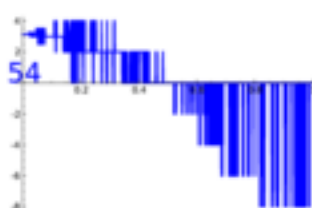
dsin2.eps
355x227
6680B



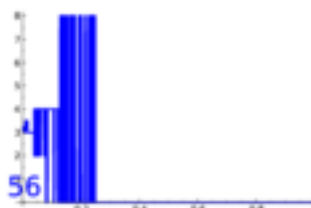
dsin3.eps
355x227
6598B



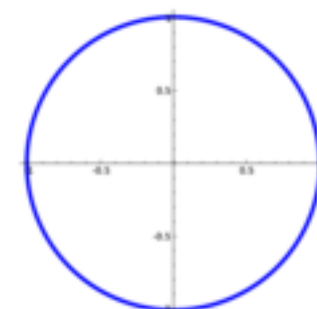
dsin4.eps
355x227
6138B



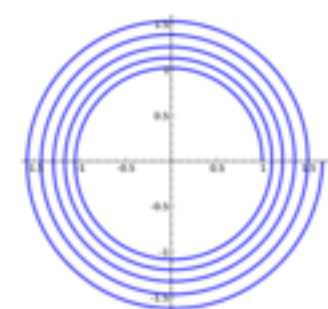
dsin5.eps
355x227
6007B



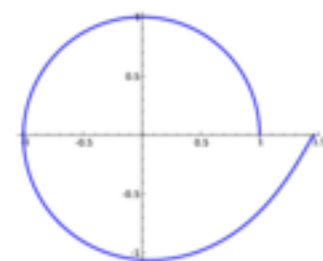
dsin6.eps
353x235
4586B



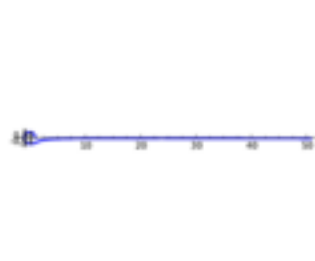
euler1.eps
349x349
8791B



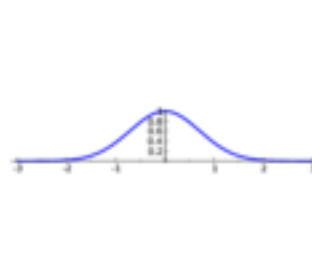
euler2.eps
349x341
17674B



euler3.eps
355x295
8000B



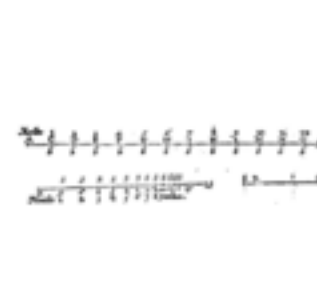
euler4.eps
359x35
2209B



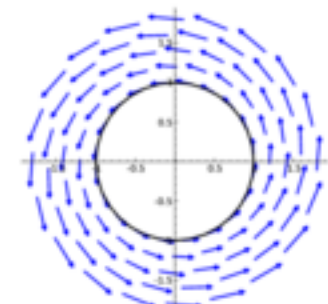
gaussi.eps
349x83
3836B



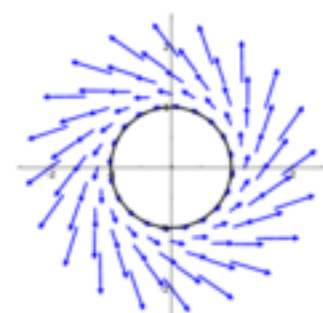
mirifi_1.eps
456x600
413525B



neper_1.eps
569x149
38149B



phase_p1.eps
349x349
22702B



phase_p2.eps
349x349
20460B



plot_arc.eps
349x291
16581B



reduzca.eps
1030x225
23436B